

УДК 519.63

МЕТОД СУММАРНОЙ АППРОКСИМАЦИИ ДЛЯ УРАВНЕНИЯ, ОПИСЫВАЮЩЕГО ПРОЦЕССЫ ДРОБЛЕНИЯ И ЗАМЕРЗАНИЯ КАПЕЛЬ В КОНВЕКТИВНЫХ ОБЛАКАХ¹⁾

© 2020 г. Б. А. Ашабоков¹, А. Х. Хибиеv^{2,*}, М. Х. Шхануков-Лафишев²

¹ 360051 Нальчик, ул. И. Арманд, 37а, ФГБУН Институт информатики и проблем регионального управления КБНЦ РАН, Россия

² 360051 Нальчик, ул. Шортанова, 89а, ФГБУН Институт прикладной математики и автоматизации КБНЦ РАН, Россия

*e-mail: akkhibiev@gmail.com

Поступила в редакцию 11.12.2019 г.
Переработанный вариант 03.02.2020 г.
Принята к публикации 09.04.2020 г.

Рассматривается локально-одномерная схема для уравнения параболического типа общего вида в p -мерном параллелепипеде. Для описания процессов дробления и замерзания капель в конвективных облаках в рассматриваемое уравнение включается нелокальный интегральный источник специального вида. Получена априорная оценка для решения локально-одномерной схемы и доказана ее сходимость. Библ. 10. Фиг. 1.

Ключевые слова: краевая задача, локально-одномерная схема, устойчивость, сходимость схемы, погрешность аппроксимации.

DOI: 10.31857/S0044466920090057

ВВЕДЕНИЕ

Краевые задачи для параболических уравнений общего вида с нелокальным источником возникают при изучении диффузии в турбулентной плазме, при описании функции распределения по массам капель и ледяных частиц, изменения функции распределения капель за счет микрофизических процессов конденсации, коагуляции капель, дробления и замерзания [1]–[6]. Введем функцию $u(x, m, t)$ такую, что $u(x, m, t)dm$ дает в каждой точке $x = (x_1, x_2, x_3)$ в момент времени t концентрацию облачных капель, масса которых заключена в интервале от m до $m + dm$. При этом $u(x, m, t)dm$ есть вероятность того, что масса облачных капель в момент времени t находится между m и $m + dm$, величина $u(x, m, t)$ называется плотностью вероятности.

1. ПОСТАНОВКА ЗАДАЧИ

В цилиндре $Q_T = G \times (0 < t \leq T]$, основанием которого служит прямоугольный параллелепипед $G = \{x = (x_1, x_2, \dots, x_p) : 0 < x_\alpha < l_\alpha, \alpha = 1, 2, \dots, p\}$ с границей Γ рассматривается задача

$$\frac{\partial u}{\partial t} = Lu + f(x, m, t), (x, t) \in Q_T, \quad (1)$$

$$u|_{\Gamma} = 0, \quad u(x, m, 0) = u_0(x, m), \quad (2)$$

¹⁾Работа выполнена при финансовой поддержке РФФИ (код проекта 19-31-90094).

где

$$\begin{aligned} Lu = \sum_{\alpha=1}^p L_\alpha u, \quad L_\alpha u = \frac{\partial}{\partial x_\alpha} \left(k_\alpha(x, t) \frac{\partial u}{\partial x_\alpha} \right) + r_\alpha \frac{\partial u}{\partial x_\alpha} - \frac{1}{p} q(x, m, t) u(x, m, t) + \\ + \frac{1}{p} \int_0^{m_l} Q(m, m') P(m') u(x, m', t) dm', \end{aligned} \quad (3)$$

где $q(x, m, t) = P(m) + R(x, m)$, $r(m)$ – радиус капли массой m , $P(m)$ – вероятность распада в единицу времени капли массой m , $R(x, m)$ – вероятность замерзания в единицу времени капли массой m , $Q(m, m')$ – вероятность образования капли массой m при распаде капли массой m' , $T_m(m)$ – медианная температура замерзания капель массой m , $T_b(x)$ – температура воздуха в указанной точке, $r_\alpha(x, t)$, $\alpha = 1, 2, \dots, p$ – компоненты вектора скорости воздушных потоков, m_l – максимальная масса (0.13 г) капель в облаке.

Предположим, что задача (1), (2) имеет единственное достаточно гладкое решение. При оценке порядка аппроксимации будем предполагать, что $k_\alpha(x, t) \in C^{3,1}(\bar{Q}_T)$, $r_\alpha(x, t)$, $q(x, m, t)$, $f(x, m, t) \in C^{2,1}(\bar{Q}_T)$, где $C^{n_1, n_2}(\bar{Q}_T)$ – класс функций, непрерывных вместе со своими частными производными порядка n_1 по x и n_2 по t в замкнутой области \bar{Q}_T . Функции $Q(m, m')$, $P(m)$, $R(x, m)$ рассчитываются по следующим формулам (см. [7]):

$$\begin{aligned} P(m) &= 2.94 \cdot 10^{-7} \exp(34r(m)), \\ R(x, m) &= A \exp[B(T_m(m) - T_b(x))], \\ Q(m, m') &= \frac{145.37}{m} \frac{r(m)}{r(m')} \exp\left(-7 \frac{r(m)}{r(m')}\right), \end{aligned}$$

где A , B – параметры,

$$0 < c_0 \leq k_\alpha \leq c_1, \quad |r_\alpha|, |q| \leq c_2.$$

2. ЛОКАЛЬНО-ОДНОМЕРНАЯ СХЕМА (ЛОС)

На отрезке $[0, T]$ введем равномерную сетку $\bar{\omega}_\tau = \{t_j = j\tau, j = 0, 1, \dots, j_0\}$ с шагом $\tau = \frac{T}{j_0}$. Каждый интервал (t_j, t_{j+1}) разобьем на p частей точками $t_{j+\frac{\alpha}{p}} = t_j + \frac{\alpha}{p}\tau$, $\alpha = 1, 2, \dots, p$, и обозначим через $\Delta_\alpha = \left(t_{j+\frac{\alpha-1}{p}}, t_{j+\frac{\alpha}{p}}\right]$. Пространственную сетку выберем равномерной по каждому направлению Ox_α с шагом $h_\alpha = \frac{l_\alpha}{N_\alpha}$, $\alpha = 1, 2, \dots, p$:

$$\bar{\omega}_h = \prod_{\alpha=1}^p \bar{\omega}_{h_\alpha}, \quad \bar{\omega}_{h_\alpha} = \left\{ x_\alpha^{(i\alpha)} = i_\alpha h_\alpha : i_\alpha = 0, 1, \dots, N_\alpha, \alpha = 1, 2, \dots, p \right\}.$$

Уравнение (1) перепишем в виде

$$\Re u = \frac{\partial u}{\partial t} - Lu - f = 0, \quad (4)$$

или

$$\sum_{\alpha=1}^p \Re_\alpha u = 0, \quad \Re_\alpha u = \frac{1}{p} \frac{\partial u}{\partial t} - L_\alpha u - f_\alpha, \quad \sum_{\alpha=1}^p f_\alpha = f, \quad (5)$$

где $f_\alpha(x, m, t)$, $\alpha = 1, 2, \dots, p$ – произвольные функции (обладающие той же гладкостью, что и $f(x, m, t)$), удовлетворяющие условию нормировки

$$f_1 + f_2 + \dots + f_p = f.$$

На каждом полуинтервале Δ_α , $\alpha = 1, 2, \dots, p$, будем последовательно решать задачи

$$\begin{aligned} \Re_\alpha V_{(\alpha)} &= \frac{1}{p} \frac{\partial V_{(\alpha)}}{\partial t} - L_\alpha V_{(\alpha)} - f_\alpha = 0, \quad x \in G, \quad t \in \Delta_\alpha, \\ V_{(\alpha)} &= 0, \quad x_\alpha = 0, \\ V_{(\alpha)} &= 0, \quad x_\alpha = l_\alpha, \end{aligned} \quad (6)$$

полагая при этом [8, с. 522]

$$\begin{aligned} v_{(1)}(x, m, 0) &= u_0(x, m), \quad v_{(1)}(x, m, t_j) = v_{(p)}(x, m, t_j), \quad j = 1, 2, \dots, \\ V_{(\alpha)}\left(x, m, t_{j+\frac{\alpha-1}{p}}\right) &= V_{(\alpha-1)}\left(x, m, t_{j+\frac{\alpha-1}{p}}\right), \quad j = 2, 3, \dots, p. \end{aligned}$$

Аппроксимируем каждое уравнение (6) номера α двухслойной схемой на полуинтервале Δ_α , тогда получаем цепочку p одномерных разностных уравнений:

$$\frac{y^{j+\frac{\alpha}{p}} - y^{j+\frac{\alpha-1}{p}}}{\tau} = \Lambda_\alpha y^{j+\frac{\alpha}{p}} + \Phi_\alpha^{j+\frac{\alpha}{p}}, \quad \alpha = 1, 2, \dots, p, \quad (7)$$

$$\Lambda_\alpha y^{j+\frac{\alpha}{p}} = \kappa_\alpha \left(a_\alpha y_{\bar{x}_\alpha}^{j+\frac{\alpha}{p}} \right)_{x_\alpha} + b_\alpha^+ a_\alpha^{(+1)\alpha} y_{x_\alpha}^{j+\frac{\alpha}{p}} + b_\alpha^- a_\alpha y_{\bar{x}_\alpha}^{j+\frac{\alpha}{p}} - \frac{1}{p} dy^{j+\frac{\alpha}{p}} + \frac{1}{p} \sum_{i_m=0}^{N(m)} Q(m, m_{i_m}) P(m_{i_m}) y^{(\alpha)}(x, m_{i_m}, t) \hbar_m, \quad (8)$$

$$y^{j+\frac{\alpha}{p}} \Big|_{\gamma_{h,\alpha}} = 0, \quad y(x, m, 0) = u_0(x, m), \quad \alpha = 1, 2, \dots, p, \quad (9)$$

$\gamma_{h,\alpha}$ – множество граничных узлов по направлению x_α ,

$$a_\alpha = k_\alpha \left(x^{(-0.5h_\alpha)}, \bar{t} \right), \quad x^{(-0.5h_\alpha)} = (x_1, x_2, \dots, x_{\alpha-1}, x_\alpha - 0.5h_\alpha, x_{\alpha+1}, \dots, x_p),$$

$$\bar{t} = t^{j+\frac{1}{2}}, \quad \kappa = \frac{1}{1 + R_\alpha}, \quad R_\alpha = \frac{0.5h_\alpha |r_\alpha|}{k_\alpha} \text{ – разностное число Рейнольдса,}$$

$$r_\alpha^+ = 0.5(r_\alpha + |r_\alpha|) \geq 0, \quad r_\alpha^- = 0.5(r_\alpha - |r_\alpha|) \leq 0, \quad r_\alpha = r_\alpha^+ + r_\alpha^-,$$

$$b_\alpha^+ = \frac{r_\alpha^+}{k_\alpha}, \quad b_\alpha^- = \frac{r_\alpha^-}{k_\alpha}, \quad a_i = k_{i-\frac{1}{2}}(\bar{t}), \quad \Phi_\alpha^{j+\frac{\alpha}{p}} = f_\alpha(x, m, t_{j+0.5}), \quad d = q,$$

$$\hbar_m = \begin{cases} h_m, & i_m = 1, 2, \dots, N_m - 1, \\ h_m/2, & i_m = 0, N_m. \end{cases}$$

3. ПОГРЕШНОСТЬ АППРОКСИМАЦИИ ЛОС

Характеристикой точности решения локально-одномерной схемы является разность $z^{i+\frac{\alpha}{p}} = y^{i+\frac{\alpha}{p}} - u^{i+\frac{\alpha}{p}}$, где $u^{i+\frac{\alpha}{p}}$ – решение исходной задачи (1), (2). Подставляя $y^{i+\frac{\alpha}{p}} = z^{i+\frac{\alpha}{p}} + u^{i+\frac{\alpha}{p}}$ в разностное уравнение (7), получаем для погрешности уравнение

$$\frac{z^{j+\frac{\alpha}{p}} - z^{j+\frac{\alpha-1}{p}}}{\tau} = \Lambda_\alpha z^{j+\frac{\alpha}{p}} + \Psi_\alpha^{j+\frac{\alpha}{p}}, \quad (10)$$

$$z^{j+\frac{\alpha}{p}} = 0 \quad \text{при} \quad x = \gamma_{h,\alpha}, \quad z(x, m, 0) = 0. \quad (11)$$

Обозначая через

$$\overset{\circ}{\Psi}_\alpha = \left(L_\alpha u + f_\alpha - \frac{1}{p} \frac{\partial u}{\partial t} \right)^{j+\frac{1}{2}},$$

и замечая, что $\sum_{\alpha=1}^p \overset{\circ}{\Psi}_\alpha = 0$, если $\sum_{\alpha=1}^p f_\alpha = f$, представим погрешность в виде суммы $\Psi_\alpha^{j+\frac{\alpha}{p}} = \overset{\circ}{\Psi}_\alpha + \Psi_\alpha^*$:

$$\begin{aligned} \Psi_\alpha^{j+\frac{\alpha}{p}} &= \Lambda_\alpha u^{j+\frac{\alpha}{p}} + \varphi_\alpha^{j+\frac{\alpha}{p}} - \frac{u^{j+\frac{\alpha}{p}} - u^{j+\frac{\alpha-1}{p}}}{\tau} + \overset{\circ}{\Psi}_\alpha - \overset{\circ}{\Psi}_\alpha = \\ &= \left(\Lambda_\alpha u^{j+\frac{\alpha}{p}} - L_\alpha u^{j+\frac{1}{2}} \right) + \left(\varphi_\alpha^{j+\frac{\alpha}{p}} - f_\alpha^{j+\frac{1}{2}} \right) - \left(\frac{u^{j+\frac{\alpha}{p}} - u^{j+\frac{\alpha-1}{p}}}{\tau} - \frac{1}{p} \left(\frac{\partial u}{\partial t} \right)^{j+\frac{1}{2}} \right) + \overset{\circ}{\Psi}_\alpha = \overset{\circ}{\Psi}_\alpha + \Psi_\alpha^*. \end{aligned}$$

Очевидно, что $\Psi_\alpha^* = O(|h|^2 + \tau)$, $\overset{\circ}{\Psi}_\alpha = O(1)$, $|h|^2 = h_1^2 + h_2^2 + \dots + h_p^2$, т.е. ЛОС обладает суммарной аппроксимацией $O(|h|^2 + \tau)$.

4. УСТОЙЧИВОСТЬ ЛОС

Умножим уравнение (7) скалярно на $y^{(\alpha)} = y^{j+\frac{\alpha}{p}}$:

$$\begin{aligned} (y_t^{(\alpha)}, y^{(\alpha)})_\alpha &= (\Lambda_\alpha y^{(\alpha)}, y^{(\alpha)})_\alpha + (\varphi^{(\alpha)}, y^{(\alpha)})_\alpha, \\ (u, v)_\alpha &= \sum_{i_\alpha=1}^{N_\alpha-1} u_{i_\alpha} v_{i_\alpha} h_\alpha, \quad (u, v]_\alpha = \sum_{i_\alpha=1}^{N_\alpha} u_{i_\alpha} v_{i_\alpha} h_\alpha, \\ (u, v) &= \sum_{x \in \omega_h} u v H, \quad H = \prod_{\alpha=1}^p h_\alpha. \end{aligned} \tag{12}$$

Преобразуем каждое слагаемое тождества (12):

$$\begin{aligned} (y_t^{(\alpha)}, y^{(\alpha)}) &= \frac{1}{2} \left(\|y^{(\alpha)}\|_{L_2(\alpha)}^2 \right)_T + \frac{\tau}{2} \|y_T^{(\alpha)}\|_{L_2(\alpha)}^2, \\ (\Lambda_\alpha y^{(\alpha)}, y^{(\alpha)})_\alpha &= (\kappa_\alpha (a_\alpha y_{\bar{x}_\alpha}^{(\alpha)})_{x_\alpha}, y^{(\alpha)})_\alpha + (b_\alpha^+ a_\alpha^{(+1)\alpha} y_{x_\alpha}^{(\alpha)}, y^{(\alpha)})_\alpha + (b_\alpha^- a_\alpha y_{\bar{x}_\alpha}^{(\alpha)}, y^{(\alpha)})_\alpha - \\ &\quad - \frac{1}{p} \left(dy^{j+\frac{\alpha}{p}}, y^{(\alpha)} \right)_\alpha + \frac{1}{p} \left(\sum_{i_m=0}^{N(m)} Q(m, m_{i_m}) P(m_{i_m}) y^{(\alpha)}(x, m_{i_m}, t) \hbar_m, y^{(\alpha)} \right)_\alpha, \end{aligned}$$

где $\kappa_\alpha = \frac{1}{1 + R_\alpha}$, $R_\alpha = \frac{0.5h_\alpha |r_\alpha|}{k_\alpha}$. Так как $\kappa = 1 - \frac{0.5h_\alpha |r_\alpha|}{k_\alpha} + O(h_\alpha^2)$, то κ заменим на $1 - \frac{0.5h_\alpha |r_\alpha|}{k_\alpha}$. Тогда последнее выражение перепишем в виде

$$\begin{aligned} (\Lambda_\alpha y^{(\alpha)}, y^{(\alpha)})_\alpha &= -(a_\alpha, y_{\bar{x}_\alpha}^2]_\alpha + (b_\alpha^+ a_\alpha^{(+1)\alpha} y_{x_\alpha}^{(\alpha)}, y^{(\alpha)})_\alpha + (b_\alpha^- a_\alpha y_{\bar{x}_\alpha}^{(\alpha)}, y^{(\alpha)})_\alpha - \\ &\quad - \frac{1}{p} (dy^{(\alpha)}, y^{(\alpha)}) + 0.5h_\alpha \left(a_\alpha \left(\frac{|r_\alpha|}{k_\alpha} \right)_{\bar{x}_\alpha}, y_{\bar{x}_\alpha}^{(\alpha)} y^{(\alpha)} \right)_\alpha + 0.5h_\alpha \left(a_\alpha \left(\frac{|r_\alpha|}{k_\alpha} \right)_{i_\alpha-1}, y_{\bar{x}_\alpha}^2 \right)_\alpha + \\ &\quad + \frac{1}{p} \left(\sum_{i_m=0}^{N(m)} Q(m, m_{i_m}) P(m_{i_m}) y^{(\alpha)}(x, m_{i_m}, t) \hbar_m, y^{(\alpha)} \right)_\alpha. \end{aligned}$$

С помощью леммы 1 из [9] находим

$$\begin{aligned} (b_\alpha^+ a_\alpha^{(+1)\alpha} y_{x_\alpha}^{(\alpha)}, y^{(\alpha)})_\alpha + (b_\alpha^- a_\alpha y_{\bar{x}_\alpha}^{(\alpha)}, y^{(\alpha)})_\alpha &\leq 2 \frac{c_1 c_2}{c_0} \left(\varepsilon \|y_{\bar{x}_\alpha}^{(\alpha)}\|_{L_2(\alpha)}^2 + c(\varepsilon) \|y^{(\alpha)}\|_{L_2(\alpha)}^2 \right), \\ \frac{1}{p} (dy^{(\alpha)}, y^{(\alpha)}) &\leq \frac{1}{p} c_2 \|y^{(\alpha)}\|_{L_2(\alpha)}^2, \end{aligned}$$

$$\begin{aligned}
0.5h_\alpha \left(a_\alpha \left(\frac{|r_\alpha|}{k_\alpha} \right)_{\bar{x}_\alpha}, y_{\bar{x}_\alpha}^{(\alpha)} y^{(\alpha)} \right)_\alpha &\leq 0.5h_\alpha c_4 \left(y^{(\alpha)}, y_{\bar{x}_\alpha}^{(\alpha)} \right)_\alpha \leq 0.5h_\alpha c_4 \left\| y_{\bar{x}_\alpha}^{(\alpha)} \right\|_{L_2(\alpha)} \left\| y^{(\alpha)} \right\|_{L_2(\alpha)} \leq \\
&\leq 0.5h_\alpha c_4 \left(\varepsilon \left\| y_{\bar{x}_\alpha}^{(\alpha)} \right\|_{L_2(\alpha)}^2 + c(\varepsilon) \left\| y^{(\alpha)} \right\|_{L_2(\alpha)}^2 \right), \quad \text{где } \left| a_\alpha \left(\frac{|r_\alpha|}{k_\alpha} \right)_{\bar{x}_\alpha} \right| \leq c_4, \\
0.5h_\alpha \left(a_\alpha \left(\frac{|r_\alpha|}{k_\alpha} \right)_{i_\alpha-1}, y_{\bar{x}_\alpha}^{(\alpha)} \right)_\alpha &\leq 0.5h_\alpha c_5 \left\| y_{\bar{x}_\alpha}^{(\alpha)} \right\|_{L_2(\alpha)}^2, \quad \left| a_\alpha \left(\frac{|r_\alpha|}{k_\alpha} \right)_{i_\alpha-1} \right| \leq c_5, \\
\frac{1}{p} \left(\sum_{i_m=0}^{N(m_l)} Q(m, m_{i_m}) P(m_{i_m}) y^{(\alpha)}(x, m_{i_m}, t) \hbar_m, y^{(\alpha)} \right)_\alpha &\leq \frac{1}{p} \left\| \sum_{i_m=0}^{N(m_l)} Q(m, m_{i_m}) P(m_{i_m}) y^{(\alpha)}(x, m_{i_m}, t) \hbar_m \right\|_{L_2(\alpha)} \left\| y^{(\alpha)} \right\|_{L_2(\alpha)} \leq \\
&\leq \varepsilon \frac{1}{p} \left\| \sum_{i_m=0}^{N(m_l)} y^{(\alpha)}(x, m_{i_m}, t) \hbar_m \right\|_{L_2(\alpha)}^2 + \frac{1}{4\varepsilon p} \left\| y^{(\alpha)} \right\|_{L_2(\alpha)}^2 = \varepsilon \frac{1}{p} \sum_{i_\alpha=1}^{N_\alpha-1} \left(\sum_{i_m=0}^{N(m_l)} y^{(\alpha)}(x, m_{i_m}, t) \hbar_m \right)^2 h_\alpha + \frac{1}{4\varepsilon p} \left\| y^{(\alpha)} \right\|_{L_2(\alpha)}^2 = \\
&= \varepsilon \frac{m_l}{p} \left\| y^{(\alpha)} \right\|_{L_{\alpha(\alpha, m)}}^2 + \frac{1}{4\varepsilon p} \left\| y^{(\alpha)} \right\|_{L_2(\alpha)}^2.
\end{aligned}$$

Подставляя полученные оценки в тождество (12), находим

$$\begin{aligned}
\frac{1}{2} \left(\left\| y^{j+\frac{\alpha}{p}} \right\|_{L_2(\alpha)}^2 \right)_T + \left(\left(1 - 0.5h_\alpha \frac{|r_\alpha|}{k_\alpha} \right) a_\alpha, y_{\bar{x}_\alpha}^2 \right)_\alpha &\leq \frac{1}{2} \left\| \Phi^{j+\frac{\alpha}{p}} \right\|_{L_2(\alpha)}^2 + \\
&+ c(\varepsilon) \left\| y_{\bar{x}_\alpha}^{(\alpha)} \right\|_{L_2(\alpha)}^2 + \varepsilon \left(c_4 + \frac{2c_1c_2}{c_0} \right) \left\| y_{\bar{x}_\alpha}^{(\alpha)} \right\|_{L_2(\alpha)}^2 + \varepsilon \frac{m_l}{p} \left\| y^{(\alpha)} \right\|_{L_{\alpha(\alpha, m)}}^2. \tag{13}
\end{aligned}$$

Пользуясь разностным аналогом теоремы вложения [8, с. 107] при $\varepsilon \leq \frac{c_0}{2c_5}$, $c_5 = c_4 + \frac{2c_1c_2}{c_0}$, $h_\alpha \leq \frac{k_\alpha}{|r_\alpha|}$, получаем из (13) неравенство

$$\frac{1}{2} \left\| y^{j+\frac{\alpha}{p}} \right\|_{L_2(\alpha)}^2 + \frac{c_0}{2} \tau \left\| y_{\bar{x}_\alpha} \right\|_{L_2(\alpha)}^2 \leq \frac{\tau}{2} \left\| \Phi^{j+\frac{\alpha}{p}} \right\|_{L_2(\alpha)}^2 + c(\varepsilon) \tau \left\| y^{j+\frac{\alpha}{p}} \right\|_{L_2(\alpha)}^2 + \varepsilon \frac{l_\alpha^2 m_l}{4p} \tau \sum_{i_m=0}^{N(m_l)} \left\| y_{\bar{x}_\alpha}^{j+\frac{\alpha}{p}} \right\|_{L_2(\alpha)}^2 \hbar_m + \frac{1}{2} \left\| y^{j+\frac{\alpha-1}{p}} \right\|_{L_2(\alpha)}^2. \tag{14}$$

Просуммируем (14) по $i_\beta \neq i_\alpha$, $\beta = 1, 2, \dots, p$. Тогда получим

$$\left\| y^{j+\frac{\alpha}{p}} \right\|_{L_2(\omega_h)}^2 + c_0 \tau \left\| y_{\bar{x}_\alpha} \right\|_{L_2(\omega_h)}^2 \leq \tau \left\| \Phi^{j+\frac{\alpha}{p}} \right\|_{L_2(\omega_h)}^2 + c(\varepsilon) \tau \left\| y^{j+\frac{\alpha}{p}} \right\|_{L_2(\omega_h)}^2 + \varepsilon \frac{l_\alpha^2 m_l}{2p} \tau \sum_{i_m=0}^{N(m_l)} \left\| y_{\bar{x}_\alpha}^{j+\frac{\alpha}{p}} \right\|_{L_2(\omega_h)}^2 \hbar_m + \left\| y^{j+\frac{\alpha-1}{p}} \right\|_{L_2(\omega_h)}^2. \tag{15}$$

Просуммируем (15) по i_m от 0 до $N(m_l)$:

$$\begin{aligned}
\sum_{i_m=0}^{N(m_l)} \left\| y^{j+\frac{\alpha}{p}} \right\|_{L_2(\omega_h)}^2 \hbar_m + c_0 \tau \sum_{i_m=0}^{N(m_l)} \left\| y_{\bar{x}_\alpha} \right\|_{L_2(\omega_h)}^2 \hbar_m &\leq \tau \sum_{i_m=0}^{N(m_l)} \left\| \Phi^{j+\frac{\alpha}{p}} \right\|_{L_2(\omega_h)}^2 \hbar_m + \\
&+ c(\varepsilon) \tau \sum_{i_m=0}^{N(m_l)} \left\| y^{j+\frac{\alpha}{p}} \right\|_{L_2(\omega_h)}^2 \hbar_m + \varepsilon \frac{l_\alpha^2 m_l^2}{2p} \tau \sum_{i_m=0}^{N(m_l)} \left\| y_{\bar{x}_\alpha} \right\|_{L_2(\omega_h)}^2 \hbar_m + \sum_{i_m=0}^{N(m_l)} \left\| y^{j+\frac{\alpha-1}{p}} \right\|_{L_2(\omega_h)}^2 \hbar_m. \tag{16}
\end{aligned}$$

Здесь $m_l = N(m_l) \hbar_m$ — фиксированная постоянная величина. При $\varepsilon \leq \frac{c_0 p}{l_\alpha^2 m_l^2}$ неравенство (16) принимает вид

$$\begin{aligned}
\sum_{i_m=0}^{N(m_l)} \left\| y^{j+\frac{\alpha}{p}} \right\|_{L_2(\omega_h)}^2 \hbar_m + \frac{c_0}{2} \tau \sum_{i_m=0}^{N(m_l)} \left\| y_{\bar{x}_\alpha}^{(\alpha)} \right\|_{L_2(\omega_h)}^2 \hbar_m &\leq \tau \sum_{i_m=0}^{N(m_l)} \left\| \Phi^{j+\frac{\alpha}{p}} \right\|_{L_2(\omega_h)}^2 \hbar_m + \\
&+ c(\varepsilon) \tau \sum_{i_m=0}^{N(m_l)} \left\| y^{j+\frac{\alpha}{p}} \right\|_{L_2(\omega_h)}^2 \hbar_m + \sum_{i_m=0}^{N(m_l)} \left\| y^{j+\frac{\alpha-1}{p}} \right\|_{L_2(\omega_h)}^2 \hbar_m. \tag{17}
\end{aligned}$$

Просуммируем (17) сначала по $\alpha = 1, 2, \dots, p$:

$$\begin{aligned} \sum_{i_m=0}^{N(m_l)} \|y^{j+1}\|_{L_2(\omega_h)}^2 \bar{h}_m + \frac{c_0}{2} \sum_{\alpha=1}^p \tau \sum_{i_m=0}^{N(m_l)} \|y_{\bar{x}_\alpha}\|_{L_2(\omega_h)}^2 \bar{h}_m &\leq \sum_{\alpha=1}^p \tau \sum_{i_m=0}^{N(m_l)} \left\| \Phi^{j+\frac{\alpha}{p}} \right\|_{L_2(\omega_h)}^2 \bar{h}_m + \\ &+ c(\varepsilon) \sum_{\alpha=1}^p \tau \sum_{i_m=0}^{N(m_l)} \left\| y^{j+\frac{\alpha}{p}} \right\|_{L_2(\omega_h)}^2 \bar{h}_m + \sum_{i_m=0}^{N(m_l)} \|y^j\|_{L_2(\omega_h)}^2 \bar{h}_m, \end{aligned}$$

затем по j' от 0 до j :

$$\begin{aligned} \sum_{i_m=0}^{N(m_l)} \|y^{j+1}\|_{L_2(\omega_h)}^2 \bar{h}_m + \frac{c_0}{2} \sum_{j'=0}^j \tau \sum_{\alpha=1}^p \sum_{i_m=0}^{N(m_l)} \left\| y_{\bar{x}_\alpha}^{j'+\frac{\alpha}{p}} \right\|_{L_2(\omega_h)}^2 \bar{h}_m &\leq \sum_{j'=0}^j \tau \sum_{\alpha=1}^p \sum_{i_m=0}^{N(m_l)} \left\| \Phi^{j'+\frac{\alpha}{p}} \right\|_{L_2(\omega_h)}^2 \bar{h}_m + \\ &+ c(\varepsilon) \sum_{j'=0}^j \tau \sum_{\alpha=1}^p \sum_{i_m=0}^{N(m_l)} \left\| y^{j'+\frac{\alpha}{p}} \right\|_{L_2(\omega_h)}^2 \bar{h}_m + \sum_{i_m=0}^{N(m_l)} \|y^0\|_{L_2(\omega_h)}^2 \bar{h}_m. \end{aligned} \quad (18)$$

Из (18) имеем

$$\sum_{i_m=0}^{N(m_l)} \|y^{j+1}\|_{L_2(\omega_h)}^2 \bar{h}_m \leq c(\varepsilon) \sum_{j'=0}^j \tau \sum_{\alpha=1}^p \sum_{i_m=0}^{N(m_l)} \left\| y^{j'+\frac{\alpha}{p}} \right\|_{L_2(\omega_h)}^2 \bar{h}_m + F^j, \quad (19)$$

где

$$F^j = \sum_{j'=0}^j \tau \sum_{\alpha=1}^p \sum_{i_m=0}^{N(m_l)} \left\| \Phi^{j'+\frac{\alpha}{p}} \right\|_{L_2(\omega_h)}^2 \bar{h}_m + \sum_{i_m=0}^{N(m_l)} \|y^0\|_{L_2(\omega_h)}^2 \bar{h}_m,$$

С помощью неравенства (19) на основании леммы 4 (см. [10, с. 171]) из неравенства (18) получаем априорную оценку

$$\sum_{i_m=0}^{N(m_l)} \|y^{j+1}\|_{L_2(\omega_h)}^2 \bar{h}_m + \sum_{j'=0}^j \tau \sum_{\alpha=1}^p \sum_{i_m=0}^{N(m_l)} \left\| y_{\bar{x}_\alpha}^{j'+\frac{\alpha}{p}} \right\|_{L_2(\omega_h)}^2 \bar{h}_m \leq M(t) \left[\sum_{j'=0}^j \tau \sum_{\alpha=1}^p \sum_{i_m=0}^{N(m_l)} \left\| \Phi^{j'+\frac{\alpha}{p}} \right\|_{L_2(\omega_h)}^2 \bar{h}_m + \sum_{i_m=0}^{N(m_l)} \|y^0\|_{L_2(\omega_h)}^2 \bar{h}_m \right]. \quad (20)$$

Из оценки (20) следует

Теорема 1. Локально-одномерная схема (7)–(9) устойчива по начальным данным и правой части так, что для решения задачи (7)–(9) при любых h и $\tau \leq \tau_0$ справедлива оценка (20).

5. СХОДИМОСТЬ ЛОКАЛЬНО-ОДНОМЕРНОЙ СХЕМЫ

По аналогии с [8, с. 528] представим решение задачи (10), (11) в виде суммы $z_{(\alpha)} = v_{(\alpha)} + \eta_{(\alpha)}$, $z_{(\alpha)} = z^{j+\frac{\alpha}{p}}$, где $\eta_{(\alpha)}$ определяется условиями

$$\frac{\eta_{(\alpha)} - \eta_{(\alpha-1)}}{\tau} = \dot{\Psi}_\alpha, \quad x \in \omega_{h_\alpha} + \gamma_{h,\alpha}, \quad \alpha = 1, 2, \dots, p, \quad \eta(x, 0) = 0. \quad (21)$$

Из (21) следует $\eta^{j+1} = \eta_{(p)} = \eta^j + \tau(\dot{\Psi}_1 + \dot{\Psi}_2 + \dots + \dot{\Psi}_p) = \eta^j = \dots = \eta^0 = 0$.

Для $\eta_{(\alpha)} = \tau(\dot{\Psi}_1 + \dot{\Psi}_2 + \dots + \dot{\Psi}_\alpha) = -\tau(\dot{\Psi}_{\alpha+1} + \dots + \dot{\Psi}_p) = O(\tau)$.

Функция $v_{(\alpha)}$ определяется условиями

$$\frac{V_{(\alpha)} - V_{(\alpha-1)}}{\tau} = \Delta_\alpha v_{(\alpha)} + \tilde{\Psi}_\alpha, \quad x \in \omega_h, \quad \alpha = 1, 2, \dots, p, \quad (22)$$

$$v_{(\alpha)} = -\eta_{(\alpha)}, \quad x_\alpha \in \gamma_{h,\alpha}, \quad v_{(\alpha)}(x, 0) = 0, \quad \tilde{\Psi}_\alpha = \Psi_\alpha^* + \Delta_\alpha \eta_{(\alpha)}.$$

Решение задачи (22) оценим с помощью теоремы 1. Так как $\eta^j = 0$, $\eta_\alpha = O(\tau)$, $\|z^j\| \leq \|v^j\|$, то из оценки (20) следует

Теорема 2. Пусть задача (1), (2) имеет единственное непрерывное в \bar{Q}_T решение $u(x, m, t)$ и существуют непрерывные в \bar{Q}_T производные

$$\frac{\partial^2 u}{\partial t^2}, \frac{\partial^4 u}{\partial x_\alpha^2 \partial x_\beta^2}, \frac{\partial^3 u}{\partial x_\alpha^2 \partial t}, \frac{\partial^2 f}{\partial x_\alpha^2}, \quad \alpha = 1, 2, \dots, p, \quad \alpha \neq \beta,$$

тогда локально-одномерная схема (7)–(9) сходится со скоростью $O(|h|^2 + \tau)$ так, что

$$\|y^{j+1} - u^{j+1}\|_1 \leq M(|h|^2 + \tau), \quad |h|^2 = h_1^2 + h_2^2 + \dots + h_p^2.$$

$$\|y^{j+1}\|_1^2 = \sum_{i_m=0}^{N(m_1)} \|y^{j+1}\|_{L_2(\omega_h)}^2 \hbar_m + \sum_{j'=0}^j \tau \sum_{\alpha=1}^p \sum_{i_m=0}^{N(m_1)} \left\| y_{\bar{x}_\alpha}^{j'+\frac{\alpha}{p}} \right\|_{L_2(\omega_h)}^2 \hbar_m.$$

6. ЧИСЛЕННЫЕ РЕЗУЛЬТАТЫ

Тестовый пример. В цилиндре $\bar{Q}_T = \bar{G} \times [0, T]$, основанием которого является прямоугольник $\bar{G} = \{x = (x_1, x_2) : 0 \leq x_\alpha \leq l_\alpha, \alpha = 1, 2\}$ с границей Γ , $\bar{G} = G \cup \Gamma$, рассмотрим первую краевую задачу

$$\begin{aligned} \frac{\partial u}{\partial t} &= \frac{\partial}{\partial x_1} \left(k_1(x_1, x_2, t) \frac{\partial u}{\partial x_1} \right) + \frac{\partial}{\partial x_2} \left(k_2(x_1, x_2, t) \frac{\partial u}{\partial x_2} \right) + r_1(x_1, x_2, t) \frac{\partial u}{\partial x_1} + \\ &+ r_2(x_1, x_2, t) \frac{\partial u}{\partial x_2} - \frac{1}{2} q_1(x_1, x_2, m, t) u(x_1, x_2, m, t) - \frac{1}{2} q_2(x_1, x_2, m, t) u(x_1, x_2, m, t) + \\ &+ \int_0^{m_1} Q(m, m') P(m') u(x, m', t) dm' + f(x_1, x_2, m, t), \end{aligned} \quad (23)$$

$$0 < x_1 < l_1, \quad 0 < x_2 < l_2, \quad 0 < t \leq T,$$

$$u|_\Gamma = 0, \quad u(x_1, x_2, m, 0) = 0, \quad (24)$$

где

$$\begin{aligned} k_1(x_1, x_2, t) &= k_2(x_1, x_2, t) = e^{x_1+x_2+t}, \\ r_1(x_1, x_2, t) &= r_2(x_1, x_2, t) = (x_1 x_2 - 0.5) \cos(x_1 x_2 + t), \\ q_1(x_1, x_2, m, t) &= q_2(x_1, x_2, m, t) = e^{t+m} \cos(x_1 x_2), \\ Q(m, m') &= e^{2m'+m}, \quad P(m') = e^{-m'}, \\ f(x_1, x_2, m, t) &= 3t^2 e^m (x_1^3 - l_1 x_1^2) (x_2^3 - l_2 x_2^2) - \\ &- e^{x_1+x_2+t} t^3 e^m (x_2^3 - l_2 x_2^2) (3x_1^2 - 2l_1 x_1 + 6x_1 - 2l_1) - \\ &- e^{x_1+x_2+t} t^3 e^m (x_1^3 - l_1 x_1^2) (3x_2^2 - 2l_2 x_2 + 6x_2 - 2l_2) - \\ &- (x_1 x_2 - 0.5) \cos(x_1 x_2 + t) t^3 e^m (x_2^3 - l_2 x_2^2) (3x_1^2 - 2l_1 x_1) - \\ &- (x_1 x_2 - 0.5) \cos(x_1 x_2 + t) t^3 e^m (x_1^3 - l_1 x_1^2) (3x_2^2 - 2l_2 x_2) + \\ &+ e^{t+2m} \cos(x_1 x_2) t^3 (x_1^3 - l_1 x_1^2) (x_2^3 - l_2 x_2^2) - \\ &- t^3 e^m (x_1^3 - l_1 x_1^2) (x_2^3 - l_2 x_2^2) (e^{2m_1} - 1), \\ 0 < m &\leq m_1, \quad m_1 = 1, \quad l_1 = l_2 = 1, \quad T = 1. \end{aligned}$$

Точное решение задачи (23), (24): $u(x, m, t) = t^3 e^m (x_1^3 - l_1 x_1^2) (x_2^3 - l_2 x_2^2)$.

Таблица 1. Изменение погрешности при уменьшении размеров сетки

$h_1 = h_2$	m	τ	Максимальная погрешность
1/10	1/10	1/100	0.0501006
1/20	1/20	1/400	0.0232227
1/40	1/40	1/1600	0.0079458

Численные расчеты для функции распределения по массам капель с учетом микрофизических процессов дробления и замерзания представлены (см. фиг. 1) для следующей задачи:

$$\begin{aligned} \frac{\partial f_1}{\partial t} &= \frac{\partial}{\partial x} \left(K \frac{\partial f_1}{\partial x} \right) + \frac{\partial}{\partial y} \left(K \frac{\partial f_1}{\partial y} \right) + u \frac{\partial f_1}{\partial x} + (w - V_1) \frac{\partial f_1}{\partial y} - R(x, y, m) f_1 - P(m) f_1 + \\ &+ \int_0^{m_1} Q(m, m') P(m') f_1(x, y, m', t) dm' + I_1, \\ 0 < x < 15, \quad 0 < y < 30, \quad 0 < t \leq T, \quad f_1|_{\Gamma} &= 0, \quad f_1(x, y, m, 0) = 0, \end{aligned}$$

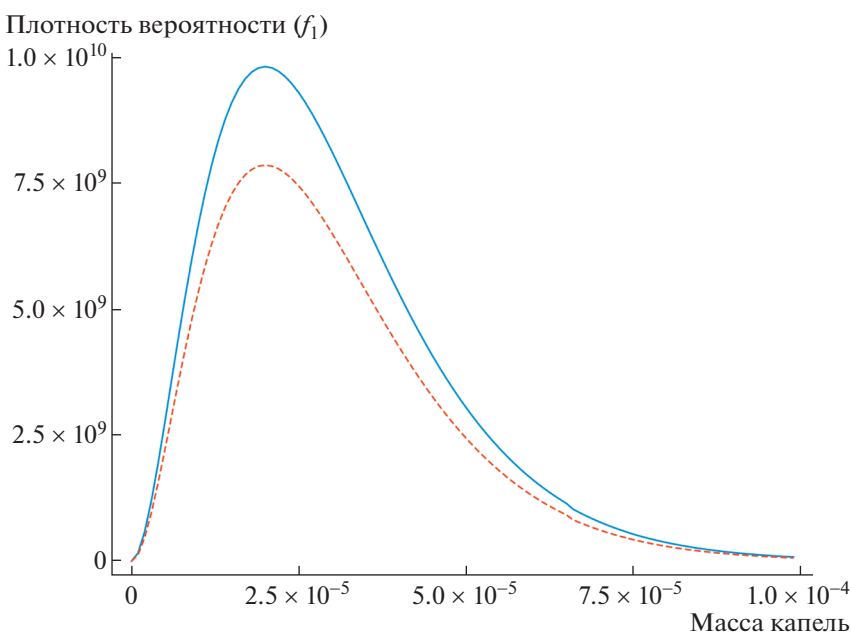
где $f_1(x, y, m, t)$ – функция распределения по массам капель. Образование новых капель на ядрах конденсации учитывает слагаемое $I_1(x, y, m, t)$. Этот процесс описывается формулой [2]:

$$I_1(x, y, m, t) = \frac{\alpha(q_p(x, y) - q_s(x, y)) f_1^0(x, y, m)}{\omega(f_1^0)},$$

где q_p – влажность воздуха в точке (x, y) , q_s – влажность насыщенного водяного пара в той же точке, α – численный коэффициент, f_1^0 – заданное распределение капель в той же точке, $\omega(f_1^0)$ – водность заданного распределения капель, u и w – горизонтальная и вертикальная составляющие скоростей воздушных потоков, V_1 – скорость падения капель.

Коэффициент турбулентной диффузии вычисляется по формуле:

$$K = CL^2 \left[\left(\frac{\partial u}{\partial x} \right)^2 + \left(\frac{\partial u}{\partial y} \right)^2 + \left(\frac{\partial w}{\partial x} \right)^2 + \left(\frac{\partial w}{\partial y} \right)^2 \right]^{1/2}.$$



Фиг. 1. Функция распределения по массам капель: без учета дробления и замерзания (сплошная линия), с учетом дробления и замерзания (штриховая линия).

Таблица 2. Значения масс m , радиусов r и скоростей падения V_1 капель

№	m (г)	r (см)	V_1 (м/с)
1	2.5000e-10	0.00039080	0.001817
2	3.5360e-10	0.00043865	0.002290
3	5.0000e-10	0.00049237	0.002885
4	7.0710e-10	0.00055267	0.003635
5	1.0000e-9	0.00062035	0.004580
6	1.4142e-9	0.00069632	0.005770
7	2.0000e-9	0.00078159	0.007270
8	2.8284e-9	0.00087731	0.009159
9	4.0000e-9	0.00098475	0.011540
10	5.6569e-9	0.00110534	0.014539
11	8.0000e-9	0.00124070	0.018318
12	1.1314e-8	0.00139264	0.023079
13	1.6000e-8	0.00156319	0.029078
14	2.2627e-8	0.00175462	0.036636
15	3.2000e-8	0.00196949	0.046159
16	4.5255e-8	0.00221068	0.058156
17	6.4000e-8	0.00248140	0.073273
18	9.05100e-8	0.00278528	0.092318
19	1.2800e-7	0.00312637	0.116313
20	1.8102e-7	0.00350923	0.146545
21	2.5600e-7	0.00393898	0.184635
22	3.6204e-7	0.00442136	0.353708
23	5.1200e-7	0.00496280	0.397024
24	7.2408e-7	0.00557056	0.445645
25	1.0240e-6	0.00625274	0.500219
26	1.4482e-6	0.00701846	0.561477
27	2.0480e-6	0.00787796	0.630237
28	2.8963e-6	0.00884271	0.707417
29	4.0960e-6	0.00992561	0.794049
30	5.7926e-6	0.01114112	0.891289
31	8.1920e-6	0.01250548	1.000439
32	1.1585e-5	0.01403693	1.122954
33	1.6384e-5	0.01575592	1.260474
34	2.3170e-5	0.01768542	1.414834
35	3.2768e-5	0.01985122	1.588097
36	4.6340e-5	0.02228224	1.782579
37	6.5536e-5	0.02501096	2.000877
38	9.2682e-5	0.02807386	2.245909
39	1.3107e-4	0.03151184	2.520947

Таблица 3. Значения u в узлах пространственной сетки

y (км)	x (км)						
	0	5	10	15	20	25	30
0	0	0	0	0	0	0	0
3	0	5	2	-3	-15	-10	-5
6	0	3	1	-1	-8	-3	0
9	0	-1	-5	1	10	3	0
12	0	0	-3	0	5	2	0
15	0	0	0	0	0	0	0

Таблица 4. Значения w в узлах пространственной сетки

y (км)	x (км)						
	0	5	10	15	20	25	30
0	0	1	1.5	2.5	1.5	1	0
3	0	0	2	3	2	0	0
6	0	-10	3	13	3	-10	0
9	0	0	7	35	7	0	0
12	0	0	2	7	2	0	0
15	0	0	0	0	0	0	0

СПИСОК ЛИТЕРАТУРЫ

1. Ашабоков Б.А., Шаповалов А.В. Конвективные облака: численные модели и результаты моделирования в естественных условиях и при активном воздействии. Нальчик: Изд-во КБНЦ РАН, 2008. 252 с.
2. Коган Е.Л., Мазин И.П., Сергеев Б.Н., Хворостиков В.Н. Численное моделирование облаков. М.: Гидрометеоиздат, 1984. 178 с.
3. Berry E.X. Cloud droplet growth by collection // J. Atmos. Sci. 1967. V. 24. P. 688–701.
4. Berry E.X., Reinharolt R.L. An analysis of cloud drop growth by collection: part 2. Single initial distributions // J. Atmos. Sci. 1974. V. 31. P. 1825–1837.
5. Чудновский Л.Ф. Теплофизика почвы. М.: Наука, 1976. 353 с.
6. Кожанов А.И. Об одной нелокальной краевой задаче с переменными коэффициентами для уравнений теплопроводности и Аллера // Дифференц. ур-ния. 2004. Т. 10. № 6. С. 763–774.
7. Tzivion S., Feingold G., Levin Z. An efficient numerical solution to the stochastic collection equation // J. Atmos. Sci. 1987. V. 44. P. 3139–3149.
8. Самарский А.А. Теория разностных схем. М.: Наука, 1977. 656 с.
9. Андреев В.Б. О сходимости разностных схем, аппроксимирующих вторую и третью краевые задачи для эллиптических уравнений // Ж. вычисл. матем. и матем. физ. 1968. Т. 8.
10. Самарский А.А., Гулин А.В. Устойчивость разностных схем. М.: Наука, 1973. 480 с.